

Как видно из фигуры, вторая серия измерений совпала с первой, т. е. вязкость во всем исследованном интервале температур не изменялась при введении в атмосферу над расплавом добавок азота. Это свидетельствует о том, что азот при указанных температурах слабо растворяется в рубидии и не образует с рубидием или с примесями щелочных металлов в нем химических соединений.

Кислород. Кислород вводился в объем над расплавом при температуре последнего 200° С. Давление кислорода равнялось 0.1 atm, что соответствует 0.3 г. Кислород полностью растворился в металле примерно через 10 час. Концентрация кислорода, растворенного в металле, составляет 1% (вес.).

Измерение амплитуды колебаний (фиг. 4, третья серия) осуществлялось в режиме свободного охлаждения, скорость изменения температуры 0.3 ± 1° С/мин. Амплитуда колебаний уменьшилась на 8 ± 10%, что соответствует увеличению вязкости расплава на 20%.

При 50° С наблюдалось резкое уменьшение амплитуды колебаний, и в этот момент на поверхности расплава появилась окисная пленка. Амплитуда колебаний в этой серии измерений плавно уменьшалась до нуля при полном затвердевании. Температура затвердевания уменьшилась на 6° С и равнялась 32° С.

При быстром охлаждении — до 3° С/мин (четвертая серия) — окислы не успевают выпадать из расплава, и аномалий исследуемой зависимости не наблюдалось.

Поступила 6 I 1970

ЛИТЕРАТУРА

- Соловьев А. Н., Каплун А. Б. О вибрационном методе измерения вязкости жидкостей, Термофизика высоких температур, 1965, т. 3, вып. 1.
- Соловьев А. Н., Каплун А. Б., Генрих В. Н. Вибрационный метод измерения вязкости жидкых металлов при высоких температурах. В сб. «Исследования при высоких температурах», Новосибирск, «Наука», 1966, стр. 89—100.
- Генрих В. Н., Каплун А. Б., Соловьев А. Н. Исследование вязкости жидкостей вибрационным методом. В сб. «Исследования теплофизических свойств веществ», Новосибирск, «Наука», 1967, стр. 112—136.
- Ваграфтик Н. Б. Справочник по теплофизическими свойствам газов и жидкостей. М., Физматгиз, 1963.
- Шильдрайн Э. Э., Солдатенко Ю. А., Якимович К. А., Фомин В. А. и др. Экспериментальное исследование теплофизических и электрофизических свойств жидких щелочных металлов при высоких температурах. Термофизика высоких температур, 1965, т. 3, вып. 6.
- Andrade E. N. da C., Dobbs E. R. The viscosities of liquid lithium, rubidium and caesium. Proc. Roy. Soc., Ser. A., 1952, vol. 211, No. 1104.
- Weatherford W. D. Ir., Johnston R. K., Valtierra M. L. Kinematic viscosity of liquid rubidium from 67 to 688° С. J. Chem. Engng. Data, 1964, vol. 9, No. 4.
- Галактионова Н. А. Водород в металлах. М., «Металлургия», 1967.
- «Рубидий». Сб. перев., М., Изд-во иностр. лит., 1959.

ИОНИЗАЦИОННАЯ РЕЛАКСАЦИЯ ЗА УДАРНЫМИ ВОЛНАМИ В АЗОТЕ ПРИ СКОРОСТИХ 17—25 км/сек

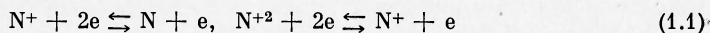
М. Б. Железняк (Москва)

Получены профили концентраций компонент и температур тяжелых частиц и электронов. Определяются времена релаксации ионов азота и электронов.

Ионизационная релаксация за ударными волнами в воздухе рассматривалась в работах [1—4]. В [2] была предсказана, а затем подтверждена экспериментом [5] немонотонная зависимость времени ионизации от скорости v_s ударной волны. Немонотонность возникает при $v_s \approx 9.5$ км/сек, когда ионизованные компоненты начинают вносить существенный вклад в энтальпию равновесного газа.

1. Состояние газа за фронтом волны описывается системой уравнений кинетики и уравнений, выражающих законы сохранения потоков массы, импульса и энергии. Релаксация в азоте при скоростях $v_s \approx 20$ км/сек практически происходит в атомарном газе вследствие полной диссоциации молекул N_2 в скачке уплотнения. Уравнения кинетики записывались для N , N^+ , N^{+2} , а также для поступательной температуры тяжелых частиц T_a и температуры электронов T_e .

Учитываются следующие процессы:



Выражение для константы рекомбинации первой реакции получено в [6] на основании теории, учитывающей диффузию электронов в пространстве энергий, и имеет вид

$$\alpha_1^{-1} = 2.3 \cdot 10^{31} \left(\frac{T_e}{R} \right)^{1/2} \left[1 + \frac{2\Lambda^* \Sigma_i e^{-E_2/T_e}}{3\sqrt{\pi} g_1 \Lambda} \left(\frac{R}{T_e} \right)^{1/2} \frac{\Delta E_1}{T_e} \right] \quad (1.2)$$

Здесь R — постоянная Ридберга, Λ — кулоновский логарифм для связанных состояний атома (для его расчета использовались сечения переходов между уровнями, полученные в бете-борновском приближении, и учитывались также имеющиеся экспериментальные данные), Σ_i — статсумма иона, g_1 — статвес основного состояния атома, E_2 — энергия первого возбужденного состояния атома, ΔE_1 — разность энергий основного и первого возбужденного состояний (отсчет энергии ведется от континуума, совокупность термов основной электронной конфигурации¹ принимается за один уровень), Λ^* — значение Λ для $\Delta E \approx 3/2 T_e$.

Константа рекомбинации для второй реакции α_2 принята аналогичной. В выражение (1.2) подставлены соответствующие величины, относящиеся к N^+ . При расчете кулоновского логарифма связанных состояний N^+ использованы кулон-борновские сечения [7]. Константы равновесия реакций (1.1) взяты из [8].

Как отмечалось в [3, 9], термы атомов N (4S , 2P , 2D) могут иметь значительное время релаксации. Поэтому для этих уровней необходима запись отдельных уравнений кинетики, в которых в отличие от [3, 9] учитываются только электронные соударения (сечения приведены в [10]). Влияние тяжелых частиц на кинетику термов в рассматриваемых условиях несущественно. В то же время заселенность термов ионов N^+ (3P , 1D , 1S) принималась больцмановской по T_e . Поскольку в той части неравновесной зоны, где N^+ может заметно влиять на релаксацию, градиенты T_e невелики, а концентрация электронов значительна, то заселенность указанных термов близка к больцмановской.

Уравнение для температуры электронов имеет вид

$$\frac{dT_e}{dx} = \sum_i Q_i \quad (1.3)$$

Здесь Q_i — вклад i -го процесса в баланс энергии электронов. Учитывались следующие процессы: Q_1 — упругие столкновения электронов с ионами N^+ и N^{+2} , Q_2 — потеря на ионизацию атомов N и ионов N^+ , Q_3 и Q_4 — обмен энергией электронов с термами атомов N и ионов N^+ соответственно

$$Q_4 = \frac{d(n_{N^+} v E)}{dx} \left(\frac{3}{2} k n_e v \right)^{-1}, \quad Q_5 = \frac{3}{2} T_e \frac{d \ln \rho}{dx} - \frac{T_e}{n_e} \frac{d(n_e v)}{dx} \quad (1.4)$$

Здесь n_e , n_{N^+} — концентрация электронов и ионов N^+ , x — расстояние от фронта, v — скорость газа за фронтом, E — средняя энергия совокупности термов ионов N^+ , соответствующая больцмановской заселенности при локальном значении T_e , ρ — относительное сжатие. Выражения для Q_2 , Q_3 приведены, например в [9], Q_1 имеет стандартный вид.

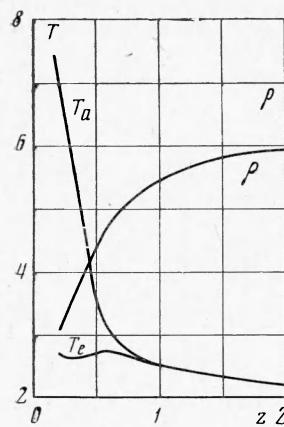
2. Приведенная система уравнений численно интегрировалась на ЭЦВМ «Минск-22». Использовалась неявная разностная схема. В результате получены профили параметров газа за фронтом волны.

На фиг. 1 для скорости $v_s = 21 \text{ км/сек}$ и давления перед фронтом $p_1 = 0.01 \text{ мм рт. ст.}$ даны типичные профили T_a , T_e в 10^4 К и ρ ($z = xp_1$ в $10^{-4} \text{ атм} \cdot \text{см}$).

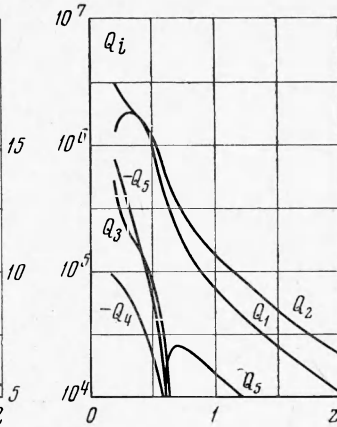
Рассмотрим процессы, определяющие профиль T_e (фиг. 2, $v_s = 21 \text{ км/сек}$, $p_1 = 0.01 \text{ мм рт. ст.}$; обозначения соответствуют выражению (1.3), Q_i в $10^4 \text{ К} / \text{атм} \cdot \text{см}$). Нагрев электронов за счет упругих соударений с ионами и потери на ионизацию электронным ударом являются основными процессами, определяющими T_e . На начальном этапе релаксации, кроме того, электроны нагреваются вследствие обмена энергией с термами атомов N . Это объясняется тем, что заселенность термов атомов вначале быстро достигает больцмановских значений около фронта. Однако далее имеют место большие отрицательные градиенты T_e , возникающие вследствие потерь на ионизацию, поэтому термы не успевают подстраиваться под меняющиеся значения T_e . Это вызывает подогрев электронов ударами второго рода.

¹ В дальнейшем их будем называть просто термы.

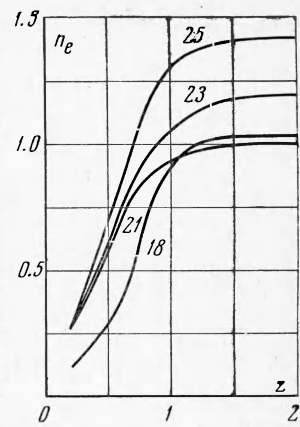
На фиг. 3 представлены профили концентрации электронов (цифрами указаны значения v_s в км/сек, n_e в 10^{16} см^{-3}). На начальном этапе релаксации интенсивно проходит реакция с образованием N^{+2} . В дальнейшем концентрация N уменьшается и вклад этой реакции в баланс генерации электронов падает. Одновременно с этим воз-



Фиг. 1



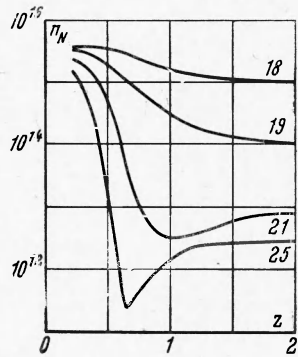
Фиг. 2



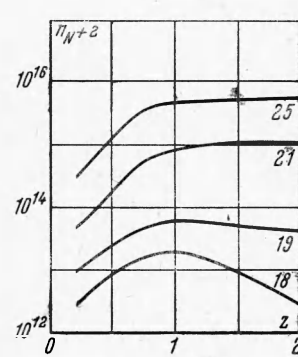
Фиг. 3

растает скорость образования N^{+2} . Последний процесс особенно важен при v_s , для которых в равновесной области имеется значительная доля N^{+2} .

На фиг. 4 представлен ход концентраций атомов N . При $v_s \geq 20$ концентрация N проходит через минимум. Это связано с тем, что после окончания первой ионизации концентрация N приходит в квазиравновесное состояние с системой при температуре, превышающей равновесное значение. По мере прохождения второй ионизации T_e понижается и N^+ рекомбинирует, приводя к увеличению N .



Фиг. 4



Фиг. 5

На фиг. 5 приводятся профили концентраций N^{+2} . При скоростях $v_s \leq 19.5 \text{ км/сек}$ T_e за фронтом такова, что равновесные концентрации N^{+2} , соответствующие локальным значениям T_e , невелики. Поэтому до окончания первой ионизации N^{+2} успевает прийти в квазиравновесие с системой при T_e , превышающей равновесное значение. По мере завершения первой ионизации T_e падает, а следовательно, уменьшается концентрация N^{+2} . Таким образом, при $v_s \leq 19.5$ имеет место максимум N^{+2} . При $v_s \geq 19.5 \text{ км/сек}$ первая ионизация проходит быстро, и на заключительном этапе релаксации системы температура определяется второй ионизацией, так как вклад N^{+2} в энталпию равновесного газа становится значительным. Все это приводит к тому, что концентрация N^{+2} монотонно нарастает.

Определим время релаксации N^{+2} аналогично определению времени ионизации в работах [1-4], т. е. для $v_s \leq 19.5 \text{ км/сек}$ за время релаксации примем время достижения уровня 0.9 от равновесной доли N^{+2} , для $v_s \geq 19.5 \text{ км/сек}$ — время достижения такого же уровня от доли N^{+2} в максимуме. Такое определение времени релаксации соответствует времени прихода N^{+2} в квазиравновесие с системой, которое при $v_s \geq 19.5 \text{ км/сек}$ является полным равновесием. Время релаксации N^{+2} представлено на

фиг. 6 как функция v_s (t в мкеск, p_1 в мм рт. ст.; кривые 4 для $p_1 = 0.1$ и 5 для $p_1 = 0.01$) и, как видно, оно немонотонно зависит от скорости.

На этой же фигуре приводится время ионизационной релаксации (кривая 3), определенное как время достижения уровня 0.9 от равновесной степени ионизации. Поскольку вклад N^+ в балансе электронов до $v_s < 20$ км/сек невелик, то время ионизации определяется релаксацией N^+ . При $v_s > 23$ км/сек концентрация N^{+2} становится значительной и время ионизации в этом случае определяется релаксацией N^{+2} . Так как времена релаксации N^+ (кривые 2 и 2') и N^{+2} (кривые 4 и 5) имеют различную зависимость от v_s , то это приводит к изменению характера зависимости и времени ионизации при переходе от меньших к большим скоростям. По профилям концентраций и температур за фронтом можно рассчитать излучение из неравновесной зоны.

Для примера рассмотрим профили интенсивности излучения в спектральных линиях иона N^+ , которые определяются концентрацией на возбужденных уровнях. За фронтом газ не находится в ионизационном равновесии, поэтому заселенности возбужденных состояний не будут больцмановскими при локальных значениях T_e .

В этом случае для расчета заселенностей уровней N^+ нужно использовать выражение аналогично полученному в [11] для атомов

$$n_k = n_k^\circ \left(r_{1k} \frac{n_1}{n_1^\circ} + r_{ke} \frac{n_e n_{N^{+2}}}{n_{N^+} K} \right) \quad (r_{ke} = 1 - r_{1k}) \quad (2.1)$$

Здесь n_k — заселенность k -го уровня N^+ ; градусами обозначены величины заселенностей, соответствующие больцмановским при локальном T_e ; K — константа ионизационного равновесия реакции $N^+ \rightleftharpoons N^{+2} + e$. Коэффициентами r_{1k} и r_{ke} определяется связь уровня k с основным состоянием и с континуумом; их явный вид приведен в [11]. Величина r_{1k} слабо зависит от температуры и с ростом k быстро падает. Для $k = 2$ r_{12} имеет наибольшее значение ($r_{12} \approx 0.1$).

На фиг. 7 для $v_s = 21$ км/сек $p_1 = 0.01$ мм рт. ст. представлено отношение $n_k / n_k^\circ (n_k^\circ)$ — заселенность k -го уровня в равновесной зоне) для уровней 3s ($k = 2$, кривая 1) и высоковозбужденного состояния ($k \gg 1$, кривая 2). Максимум заселенности уровня 3s возникает вследствие превышения T_e в неравновесной зоне над равновесным значением T_e . Профили n_k / n_k° для остальных уровней находятся между кривыми 1 и 2. На фиг. 7 дано отношение интенсивности неравновесного излучения к равновесному в инфракрасной области спектра для $\lambda \geq 2 \text{ мк}$ (кривая 3).

Аналогичные результаты получены для других $v_s > 20$ км/сек.

Для $v_s < 20$ км/сек профили излучения в спектральных линиях N^+ до максимума N^{+2} подобны представленным на фиг. 7. После максимума в результате рекомбинации N^{+2} заселенности возбужденных состояний N^+ могут превышать больцмановские значения при локальных T_e , т. е. $n_k > n_k^\circ$. Уменьшение T_e при релаксации приводит к уменьшению n_k° , а следовательно, к появлению максимума заселеностей n_k .

3. Рассмотрим влияние на результаты расчета допущений, сделанных в работе.

При расчете не учитывался вклад радиационных процессов в кинетику релаксации за фронтом. Проведенные оценки показали, что фотоионизация ионов и атомов не вносит существенного вклада в баланс генерации электронов. В то же время прекурсорные эффекты, связанные с опережающим излучением, могут быть значительны.

В данной работе не рассматривалось состояние газа в вязком скачке уплотнения, длина которого при рассматриваемых условиях может быть соизмерима с длиной неравновесной зоны [12]. В вязком скачке уплотнения происходит установление максвелловского распределения по скоростям тяжелых частиц, возможна также значитель-

ная диссоциация молекул N_2 и ионизация [13]. При расчете не учитывалась также теплопроводность электронного газа. В работе [14], выполненной для случая больших скоростей, показано, что этот процесс влияет на профиль T_e , особенно перед фронтом волны. С уменьшением скорости ударной волны влияние теплопроводности падает, и для условий данной работы она играет меньшую роль, тем более, что рассматривается состояние газа только за фронтом волны. Таким образом, за счет фотоионизации перед фронтом, а также ионизации в скачке уплотнения концентрация электронов во фронте может быть значительной. Но, как показали оценки, она все же будет существенно меньше равновесной степени ионизации.

Для ударных волн в воздухе при $v_s < 12 \text{ км/сек}$, рассмотренных в [1-4], главным источником затравочных электронов, необходимых для развития ионизации электронным ударом, являлась ассоциативная ионизация. При больших скоростях ее значение уменьшается вследствие имеющейся начальной ионизации; лавинообразный процесс ионизации электронным ударом с большими градиентами n_e может начинаться от фронта, что приводит к малой зависимости решения от начальных условий. Профили параметров газа, полученные при различных начальных n_e и T_e , отличаются только в узкой области вблизи фронта.

Следует также отметить зависимость результатов от константы рекомбинации α_2 . При ее варьировании меняется время релаксации N^{+2} , но качественно результаты остаются прежними, т. е. имеет место изменение профилей N^{+2} от немонотонного к монотонному с ростом скорости, а также изменение характера зависимости времени ионизации как функции скорости.

4. Индивидуальность компонент воздуха заключена в основном в молекулах и при больших скоростях проявляется слабо. Поэтому данные настоящей работы по ионизационной релаксации в азоте можно использовать для оценки ионизации в воздухе. На фиг. 6 представлена зависимость от v_s времени ионизации в воздухе (кривые 1 [1] и 2 [3]). Из рассмотрения фигуры следует, что изменение характера зависимости времени ионизации от v_s возникает при тех скоростях, когда однократные или двукратные атомарные ионы начинают вносить существенный вклад в энтальпию и баланс электронов равновесного газа. Изменение характера в ходе времени ионизационной релаксации можно также ожидать при $v_s \approx 40,55 \text{ км/сек}$ и так далее, что соответствует третьей, четвертой и последующим ионизациям (данные о вкладах ионов взяты из [8]).

Автор благодарен А. Х. Мнацакянцу за постановку задачи и обсуждение результатов, а также Г. А. Кобзеву и И. Т. Якубову за полезные обсуждения.

Поступила 9 III 1970

ЛИТЕРАТУРА

- Lin S. C., Teare J. D. Rate of ionization behind shock waves in air. II Theoret. Interpretations Phys. Fluids, 1963, vol. 6, No. 3, p. 355.
- Биберман Л. М., Якубов И. Т. Состояние газа за фронтом сильной ударной волны. Теплофизика высоких температур, 1965, т. 3, № 3, стр. 340.
- Железняк М. Б., Мнацакян А. Х. Ионизационная релаксация за ударными волнами в воздухе. Теплофизика высоких температур, 1968, т. 3, № 3.
- Лосев С. А., Полянский В. А. Неравновесная ионизация воздуха за фронтом ударной волны при скорости 10 км/сек . Изв. АН СССР, МЖГ, 1968, № 1.
- Wilson J. Ionization rate of air behind high speed shock waves. Phys. Fluids, 1966, vol. 9, No. 10, p. 1913.
- Биберман Л. М., Воробьев В. С., Якубов И. Т. К теории ионизации и рекомбинации в низкотемпературной плазме. ЖЭТФ, 1969, т. 56, № 6.
- Ситон М. Теория возбуждения и ионизации электронным ударом. В сб. «Атомные и молекулярные процессы», М., «Мир», 1964.
- Кузнецов Н. М. Термодинамические функции и ударные адиабаты воздуха при высоких температурах. М., «Машиностроение», 1965.
- Железняк М. Б., Мнацакян А. Х., Якубов И. Т. Релаксация и неравновесное излучение за ударными волнами в воздухе. Изв. АН СССР, МЖГ, 1970, № 4, стр. 161.
- Smith K., Hengry R. J., Burke P. G. Calculations on the scattering of electrons by atom systems with configurations $2p^q$. Phys. Rev., 1967, vol. 157, No. 1.
- Биберман Л. М., Воробьев В. С., Якубов И. Т. К теории неравновесной низкотемпературной плазмы. В сб. «Магнитогидродинамический метод получения электроэнергии», М., «Энергия», 1968.
- Mott-Smith H. The solution of the Boltzmann equation for a shock wave. Phys. Rev., 1951, vol. 82, No. 6, p. 885.
- Chubb D. L., Ionizing shock strukture in a monatomic gas. Phys. Fluids, 1968, vol. 11, No. 11, p. 2363.
- Магретова Н. Н., Пашенко Н. Т., Райзер Ю. П. Структура ударной волны, в которой происходит многократная ионизация атомов. ПМТФ, 1970, № 5, стр. 11.